

Prelijevanje nasipnih lukobrana slučajnim valovima

Živko Vuković, Marko Pršić, Pejo Brica

Ključne riječi

*nasipni lukobran,
prelijevanje slučajnim
valovima,
Owenov model,
model Hedgesa i Reisove,
visina krune,
jadranski valni spektar*

Key words

*rubble mound breakwaters,
overtopping by random
waves,
Owen's model,
Hedges and Reis model,
crest height,
Adriatic wave spectrum*

Mots clés

*digue, débordement par
des vagues aléatoires,
modèle d'Owen,
modèle d'Hedges et
Reisova,
hauteur du couronnement,
spectre de la houle sur
l'Adriatique*

Schlüsselworte:

*Aufschüttungswellenbrech-
er, Übergießen durch
zufällige Wellen,
Owen'sches Modell,
Modell von Hedges und
Reis, Dammkronenhöhe,
Adria-Wellenspektrum*

Ž. Vuković, M. Pršić, P. Brica

Izvorni znanstveni rad

Prelijevanje nasipnih lukobrana slučajnim valovima

Prikazani su analitički modeli prelijevanja lukobrana slučajnim valovima s detaljnijom analizom Owenova modela i modela Hedgesa i Reisove. Prema ovim su modelima izvedeni izrazi za visinu krune lukobrana u funkciji dopuštenog prelijevanja, parametara lukobrana i valne klime. Pokazano je da razlike prema ovim modelima nastaju zato što se Owenovim modelom ne da odrediti nulto prelijevanje ako je visina krune veća od valnog uspinjanja, što je zadovoljeno u modelu Hedgesa i Reisove.

Ž. Vuković, M. Pršić, P. Brica

Original scientific paper

Overtopping of rubble mound breakwaters by random wave action

Analytical models of overtopping of breakwaters by random wave action are presented, and a particular emphasis is placed on the Owen's model and the model developed by Hedges and Reis. These models served as a basis for deriving expressions for breakwater crest height as a function of allowable overtopping, breakwater parameters and wave climate. It is demonstrated that differences between these models are due to the fact that zero overtopping can not be determined by Owen's model if the crest height is greater than the wave elevation, which has been resolved in the model presented by Hedges and Reis.

Ž. Vuković, M. Pršić, P. Brica

Ouvrage scientifique original

Débordement des digues par des vagues aléatoires

L'on présente les modèles analytiques du débordement des digues par des vagues aléatoires, avec une analyse détaillée du modèle d'Owen et de celui d'Hedges et Reisova. Ces modèles ont permis de définir les expressions pour la hauteur du couronnement de la digue, en fonction du débordement admissible, des paramètres de la digue et du climat de la houle. Il a été démontré que les différences par rapport aux modèles cités sont dues au fait que le modèle d'Owen ne permet pas la détermination du débordement zéro si la hauteur du couronnement est supérieure à la montée de la houle, ce qui est satisfait dans le modèle d'Hedges et Reisova.

Ž. Vuković, M. Pršić, P. Brica

Wissenschaftlicher Originalbeitrag

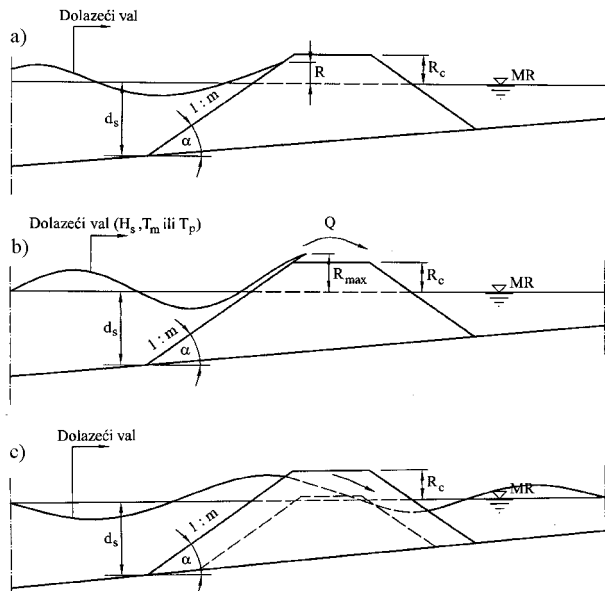
Übergießen der Aufschüttungswellenbrecher durch zufällige Wellen

Dargestellt sind analytische Modelle der Übergießung des Wellenbrechers durch zufällige Wellen mit einer detaillierten Analyse des Owen'schen Modells und des Modell von Hedges un Reis. Nach diesen Modellen sind Formeln für die Dammkronenhöhe ermittelt, abhängig von der zulässigen Übergießung, den Wellenbrecherparametern und den Wellenklima. Es wird gezeigt dass der Grund für die Unterschiede nach diesen Modellen in der Tatsache liegt dass nach dem Owen'schen Modell das Nullübergießen nicht bestimmt werden kann wenn die Kronenhöhe grösser als die Wellensteigung ist, was im Modell von Hedges und Reis befriedigt ist.

Autori: Prof. dr. sc. Živko Vuković, dipl. ing. grad.; prof. dr. sc. Marko Pršić, dipl. ing. grad.; Pejo Brica, dipl. ing. grad.; Sveučilište u Zagrebu Građevinski fakultet, Zagreb, Kačićeva 26

1 Uvod

Pri djelovanju nelomljenih valova na nasipne priobalne strukture (lukobrane i valobrane) pojavljuju se tri značajne i vrlo kompleksne interakcije hidrauličkog karaktera: valno uspinjanje, valno prelijevanje i propuštanje vala (slika 1.).



Slika 1. Definicione slike

Temeljno zajedničko obilježje navedenih interakcija jest njihova dominantna ovisnost o (1) valnoj klimi (parametrima dolazećeg vala) i (2) parametrima građevine (profilu, hrapavosti, propusnosti). Pri projektiranju nasipnih lukobrana valja uočiti veličinu ovih interakcija i s aspekta sigurnosti same konstrukcije, i s aspekta sigurnosti akvatorija (brodova, ljudi) koji se njome zaštićuju. Pri tome se središnji interes odnosi na valno prelijevanje, tako da će se u ovome radu analizirati ovaj fenomen, dok će se valno uspinjanje i propuštanje vala opisati u naknadnim radovima. Naravno, zbog povezanosti fenomena valnog prelijevanja s valnim uspinjanjem dat će se i određeni pojmovi valnog uspinjanja, ali samo u mjeri dostačnoj za razumijevanje promatranog problema valnog prelijevanja.

Do prelijevanja lukobrana (slika 1.b) doći će ako maksimalno valno uspinjanje, R_{max} , premašuje visinu krune lukobrana, R_c . Zato se u biti glavni projektantski problem svodi na definiranje profila, prvenstveno visine krune lukobrana, za koji će veličina prelijevanja, uz zadovoljenje projektnih uvjeta, biti ispod dopuštene vrijednosti. Ova činjenica ujedno upućuje i na cilj ovoga rada, da se pregledom modela prelijevanja lukobrana slučajnim valovima usporedno razviju i usporedi modeli definiranja visine krune lukobrana u funkciji dopuštenog prelijevanja, ostalih parametara lukobrana i projektne valne klime.

2 Modeli valnog prelijevanja

Pri djelovanju slučajnih valova prelijevanje lukobrana s vremenom znatno varira od jednog vala do drugog, tako da se uporabljuje termin srednjeg ili prosječnog prelijevanja, \bar{Q} , preko krune po jedinici duljine lukobrana, [$m^3 s^{-1} m^{-1}$], za koje možemo općenito pisati:

$$\bar{Q} = f(H_s, T_m, R_o, d_s, \alpha, \beta, g, \dots) \quad (1)$$

gdje su (slika 1.b):

H_s – značajna valna visina dolazećeg vala, [m],

T_m – srednji valni period presijecanja nule, [s],

R_c – visina krune lukobrana, [m], mjerena od mirne razine (MR),

d_s – dubina mora na podnožju vanjskog pokosa lukobrana, [m],

α – kut nagiba vanjskog pokosa lukobrana, [°],

β – kut nailaska dolazećih valova prema trasi lukobrana, [°],

g – ubrzanje polja sile teže, [ms^{-2}].

Radi kvantificiranja utjecaja ovih parametara na veličinu prelijevanja, u svijetu su provedena mnogobrojna i često vrlo opsežna istraživanja teorijskog i eksperimentalnog karaktera, što je rezultiralo predlaganjem određenog broja matematičkih modela, najprije analitičkih a potom i numeričkih. Od analitičkih modela, koje ćemo analizirati u ovome radu, po kriteriju citiranosti u literaturi najčešći su:

I. Model Owena [1], Ahrensa i Heimbauga [2], De Waala i Van der Meera [3], Smitha i ost. [4], Franca i ost. [5], Van den Meera i Janssena [6], predstavljen izrazom:

$$\bar{Q}_* = A \exp(-BR_{c*}) = A e^{-BR_{c*}} \quad (2)$$

II. Model Bradburyja i Allsopa [7], Amintija i Franca [8], Pedersena i Burchartha [9], predstavljen izrazom:

$$\bar{Q}_* = A(R_{c*})^{-B} \quad (3)$$

III. Model Hedgesa i Reisove [10], predstavljen izrazom:

$$\bar{Q}_* = A(1 - R_{c*})^B \quad \text{za} \quad 0 \leq R_{c*} < 1 \\ \bar{Q}_* = 0 \quad \text{za} \quad R_{c*} \geq 1 \quad (4)$$

gdje su:

\bar{Q}_* – bezdimenzionalno prosječno prelijevanje,

R_{c*} – bezdimenzionalna visina krune,

A, B – bezdimenzionalni koeficijenti određeni pri lagodbom izraza (2), (3) ili (4) na eksperimentalne podatke (najčešće metodom najmanjih kvadrata ili metodom najmanjih apsolutnih odstupanja).

Prije dalnjih objašnjenja i analiza potrebno je istaknuti nekoliko značajnih činjenica.

Prvo, ovim je modelima moguće odrediti samo prosječno prelijevanje i ne mogu se dobiti nikakve informacije o vremenskoj varijaciji brzine i dubine vode na krui tijekom prelijevanja, a što može biti naročito značajna spoznaja s aspekta mogućeg oštećenja (krune) lukobrana. Za dobivanje takvih spoznaja potrebno se koristiti numeričkim modelima npr. Kobayashija i Wurjantoa [11] ili Hua i ost. [12].

Druge, zbog težnje za generaliziranjem rezultata analiza primarno temeljenih na eksperimentalnim podacima, modelska su istraživanja za širi dijapazon utjecajnih činilaca na fenomen prelijevanja uglavnom provođena na lukobranima s ravnim, glatkim i nepropusnim pokosima i krunama. Istraživanja [7], [8] na hrapavim i propusnim pokosima izvršena su najčešće za konkretna slučajeve, čime je onemogućena šira generalizacija dobivenih rezultata.

Treće, najopsežnija modelska istraživanja u smislu variranja parametara lukobrana i valne klime proveo je Owen, tako da metodologija i rezultati njegovih istraživanja svakako zauzimaju središnje mjesto i nezaobilazno ishodište u definiranju svih kasnijih modela. Owenova istraživanja valnog prelijevanja preko glatkih i nepropusnih pokosa lukobrana nagiba od 1:1 do 1:5 obuhvaćaju sljedeća područja vrijednosti bezdimenzionalnih parametara: $10^{-6} < \bar{Q}_{c*} < 10^{-2}$ i $0.05 < R_{c*} < 0.30$.

Cetvrti, najnoviji od predloženih modela valnog prelijevanja je model Hedgesa i Reisove za koji su vrijednosti bezdimenzionalnih koeficijenata A i B dobivene reanalizom Owenovih eksperimentalnih podataka, čime postaje vrlo interesantnim pitanje eventualnih razlika koje proizlaze primjenom ovih modela. Zato će se prvenstveno u svjetlu ovih dviju posljednjih činjenica provesti detaljnije analize i usporedbe upravo ovih dvaju modela valnog prelijevanja.

2.1 Owenov model

U Owenovu modelu valnog prelijevanja, jednadžba (2), bezdimenzionalno prosječno prelijevanje, \bar{Q}_* , dano je izrazom:

$$\bar{Q}_* = \frac{\bar{Q}}{T_m g H_s} \quad (5)$$

a bezdimenzionalna visina krune, R_{c*} , izrazom:

$$R_{c*} = \frac{R_c}{T_m \sqrt{g H_s}} \quad (6)$$

Vrijednosti bezdimenzionalnih koeficijenata A i B određene su iz eksperimentalnih podataka i prikazane u tablici 1.

Tablica 1. Vrijednosti koeficijenata A i B za Owenov model prelijevanja [1]

Nagib pokosa	Koeficijenti	
	A	B
1:1	0.00749	20.12
1:2	0.0125	22.06
1:3	0.0163	31.90
1:4	0.0192	46.96

Slučaj kada je visina krune $R_c = 0$ jednadžba (2) u kombinaciji s izrazima (5) i (6) i s vrijednostima koeficijenata A i B iz tablice 1. korektno pokazuje postojanje srednjeg preljevnog protoka, $\bar{Q} = AT_m g H_s$. Međutim, Owenov model nelogično ukazuje na pojavu preljevnog protoka čak i za slučaj kada je visina krune znatna, pa i veća od maksimalnog valnog uspinjanja. Jednadžba (2) daje $\bar{Q} = 0$ samo kada je $R_c = \infty$.

2.2 Model Hedgesa i Reisove

U modelu valnog prelijevanja Hedgesa i Reisove, jednadžba (4), bezdimenzionalno prosječno prelijevanje, \bar{Q}_* , i bezdimenzionalna visina krune, R_{c*} , dani su sljedećim izrazima:

$$\bar{Q}_* = \frac{\bar{Q}}{\sqrt{g R_{\max}^3}} \quad (7)$$

$$R_{c*} = \frac{R_c}{R_{\max}} \quad (8)$$

Vrijednosti bezdimenzionalnih koeficijenata A i B su prikazane u tablici 2.

Tablica 2. Vrijednosti koeficijenata A i B za model prelijevanja Hedgesa i Reisove [10]

Nagib pokosa	Koeficijenti	
	A	B
1:1	0.00703	3.42
1:2	0.00753	4.17
1:3	-	-
1:4	0.0104	6.27

Jednadžba (4), kao i jednadžba (2) kod Owenova modela, također daje određenu vrijednost za srednji preljevni protok, $\bar{Q} = AB\sqrt{gR_{max}^3}$, za slučaj kada je visina krune $R_c = 0$. Međutim, za razliku od jednadžbe (2), jednadžba (4) logično daje $\bar{Q} = 0$ kada je $R_c \geq R_{max}$. Iz izraza (7) i (8) uočavamo da je za primjenu ovog modela potrebno poznavati i vrijednost maksimalnog valnog uspinjanja, R_{max} . Za proračun valnog uspinjanja postoji mnoštvo empirijskih izraza dobivenih na temelju modelskih istraživanja, također pretežno provedenih na glatkim i nepropusnim pokosima. CERC [13] i CIRIA/CUR [14] preporučuju primjenu Ahrensova [15] modela prema kojemu je značajno valno uspinjanje, R_s , dano izrazom:

$$\frac{R_s}{H_s} = 1.35\xi_p \quad \text{za } 0 < \xi_p < 2 \quad (9)$$

$$\frac{R_s}{H_s} = 3 - 0.15\xi_p \quad \text{za } 2 < \xi_p < 20$$

gdje je ξ_p bezdimenzionalni parametar definiran kao:

$$\xi_p = \frac{\tan \alpha}{\sqrt{H_s/L_{op}}} \quad (10)$$

U ovome je izrazu L_{op} [m] dubokovodna valna duljina prema linearnoj valnoj teoriji dana kao:

$$L_{op} = \frac{gT_p^2}{2\pi} \quad (11)$$

gdje je T_p [s] valni period vrha valnog spektra.

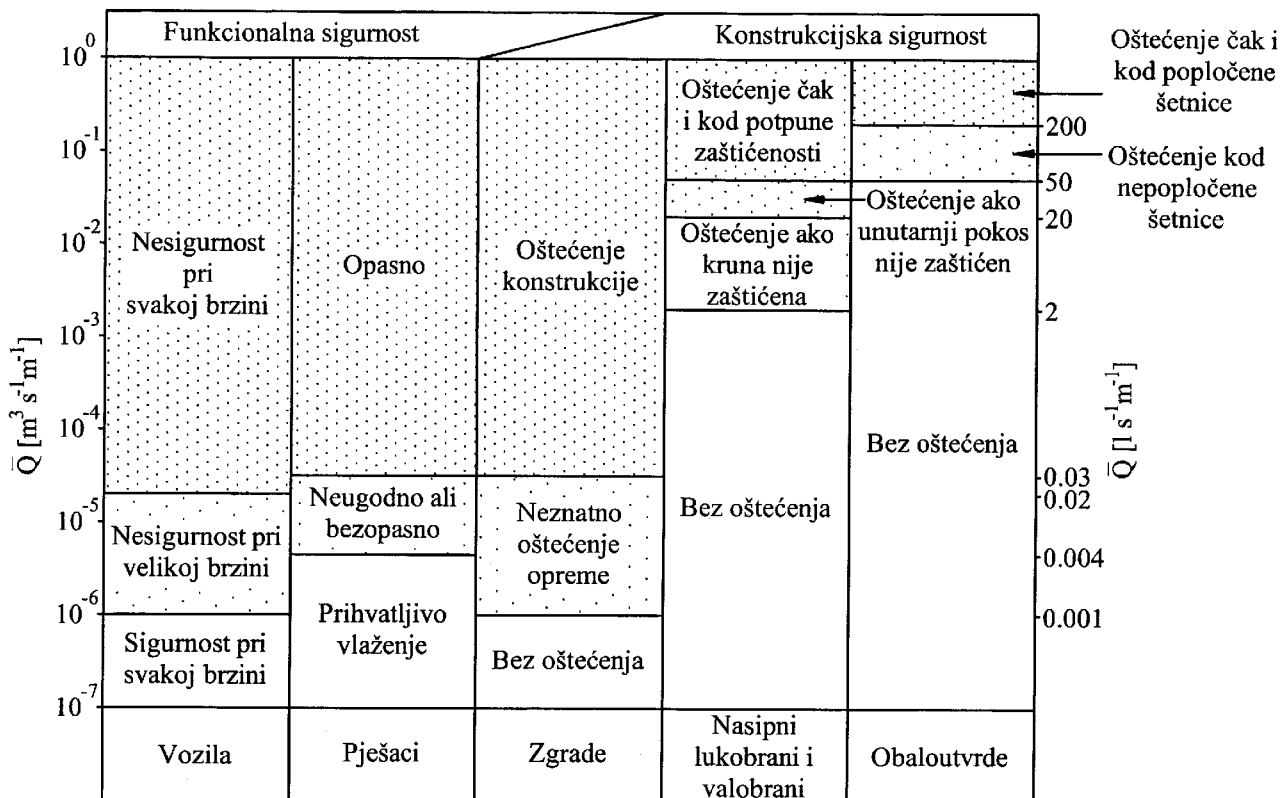
Pod pretpostavkom [14] da se razine valnog uspinjanja ravnaju po Rayleighovoj distribuciji i da je broj valnih uspinjanja jednak broju dolazećih valova, maksimalna vrijednost valnog uspinjanja s vjerojatnošću premašivanja, $P = 1$ [%], definirana je izrazom:

$$R_{max} = R_{0.01} = 1.517 R_s \quad (12)$$

Naravno, hrapavost i propusnost pokosa pridonose smanjenju valnog uspinjanja, tako da je vrijednost za R_{max} u izrazu (12) potrebno pomnožiti s koeficijentom redukcije r ($0 < r < 1$). Tako npr. prema Battjesu [16] vrijednost ovog koeficijenta za kamenu oblogu poslaganu slučajno iznosi $r = 0.50 - 0.55$, a za betonsku oblogu poslaganu slučajno i s približno 50 [%] šupljikavosti iznosi $r = 0.45 - 0.50$.

3 Dopušteno prelijevanje

Oba netom opisana modela valnog prelijevanja imaju slične razine podudaranja s izvornim eksperimentalnim



Slika 2. Kritične vrijednosti srednjeg preljevnog protoka [14]

podacima. Međutim, značajna prednost modela Hedgesa i Reisove jest što pokazuje nepostojanje valnog prelijevanja ako visina krune premašuje veličinu valnog uspinjanja. Da bi se mogle detaljnije istražiti eventualne daljnje razlike koje nastaju primjenom ovih modela najprije je potrebno razmotriti granično dopuštene vrijednosti srednjega preljevnog protoka, \bar{Q} . CIRIA/CUR [14] preporučuje kritične vrijednosti srednjega preljevnog protoka poradi dostatne sigurnosti vozila i ljudi u neposrednoj okolini lukobrana te sprečavanja oštećenja zgrada u zoni zaštite lukobranom i samih lukobrana (slika 2.).

Osnovno što možemo zaključiti sa slike 2. jest da se kritična vrijednost srednjeg preljevnog protoka kreće od malih $10^{-6} [\text{m}^3 \text{s}^{-1} \text{m}^{-1}]$ do $2 \times 10^{-1} [\text{m}^3 \text{s}^{-1} \text{m}^{-1}]$. Preljevanje veće od $10^{-6} [\text{m}^3 \text{s}^{-1} \text{m}^{-1}]$ je nesigurno za vozila pri velikim brzinama i može uzrokovati neznatno oštećenje zgrada, ponajprije njihove opreme. Za pješake postaje opasno ako prelijevanje premašuje $3 \times 10^{-5} [\text{m}^3 \text{s}^{-1} \text{m}^{-1}]$, dok prelijevanje iznad $2 \times 10^{-2} [\text{m}^3 \text{s}^{-1} \text{m}^{-1}]$ može oštetiti lukobran.

4 Visina krune lukobrana

Iz jednadžaba (2), (5) i (6) proizlazi da je kod Owenova modela potrebna visina krune lukobrana, R_c , radi one-mogućavanja određenoga srednjeg prelijevanja, \bar{Q} , dana izrazom:

$$R_c = \frac{T_m \sqrt{gH_s}}{B} \ln\left(\frac{AT_m g H_s}{\bar{Q}}\right) \quad (13)$$

a kod modela Hedgesa i Reisove, jednadžbe (4), (7) i (8) izrazom:

$$R_c = R_{\max} \left[1 - \left(\frac{\bar{Q}}{A \sqrt{g R_{\max}^3}} \right)^{1/B} \right] \quad (14)$$

gdje su:

H_s - značajna valna visina, [m], projektnog stanja mora za proračun visine krune nasipnog lukobrana povratnog razdoblja od PR [godina]; $PR \geq 1$ do 2

T_m - srednji valni period presijecanja nule, [s], za projektno stanje mora povratnog razdoblja od PR [godina]

T_p - period vrha spektra, [s], za projektno stanje mora povratnog razdoblja od PR [godina]

\bar{Q} - kritična (dopuštena) vrijednost srednjeg preljevnog protoka, $[\text{m}^3/\text{s} \cdot \text{m}^{-1}]$, prema slici 2.

Za primjenu analiziranih modela potrebno je definirati vrijednosti valnog perioda vrha spektra, T_p , i srednjeg valnog perioda presijecanja nule, T_m . Ovim je veličinama karakteriziran svaki spektar, a za Tabainov [17] i MP [18] spektar Jadranskog mora vrijedi:

Tabainov spektar MP spektar bure MP spektar juga

$$T_p = \frac{2\pi}{0.32 + \frac{1.8}{H_s + 0.6}} \quad T_p = 6.4 (\ln H_s)^{0.55} \quad T_p = 7.4 (\ln H_s)^{0.5} \quad (15)$$

$$T_m = 3.50 \sqrt{H_s} \quad T_m = 3.1 \sqrt{H_s} \quad T_m = 3.35 \sqrt{H_s} \quad (16)$$

Izrazi za T_p preuzeti su izravno iz [17] i [18], a izraze za T_m autori su za potrebe ovog rada izveli postupkom numeričke analize, budući da je:

$$T_m = 2\pi \sqrt{\frac{m_0}{m_2}} \quad (17)$$

gdje je m_i i - ti moment valnog spektra definiran izrazom:

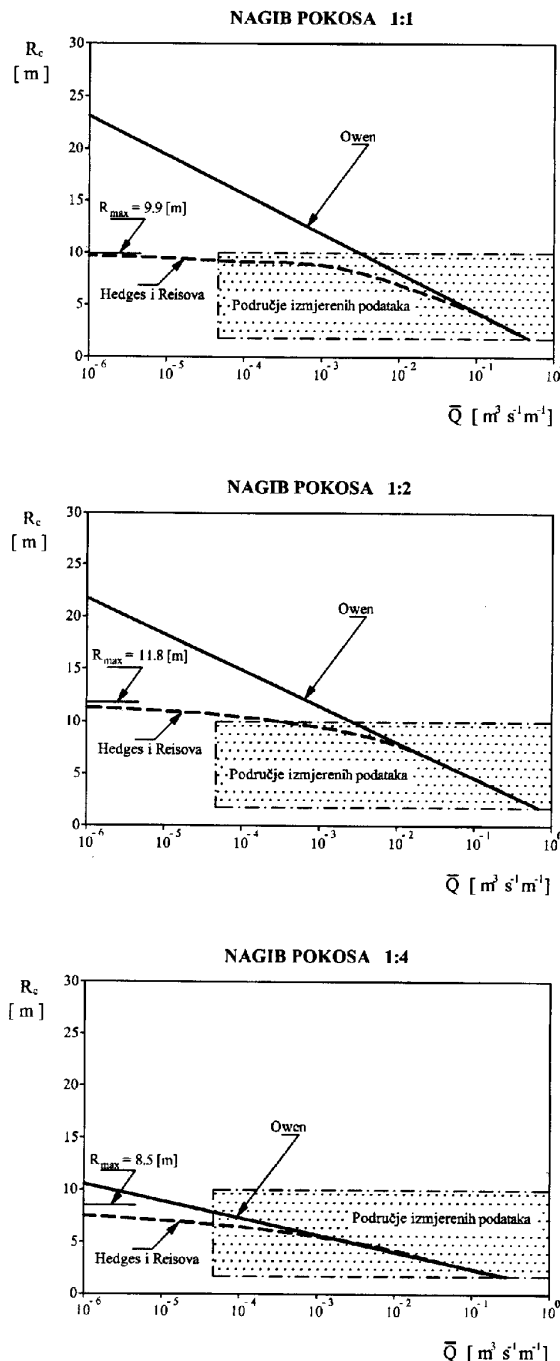
$$m_i = \int_0^\infty \omega^i S_{\eta\eta}(\omega) d\omega. \quad (18)$$

U ovom izrazu ω [rad s^{-1}] označuje kutnu valnu frekvenciju, a $S_{\eta\eta}(\omega)$ [$\text{m}^2 \text{rad}^{-1} \text{s}$] valni spektar.

Na slici 3. su radi usporedbe predložene potrebne visine krune proračunate prema izrazima (13) i (14) za lukobrane nagiba pokosa 1:1, 1:2 i 1:4, izloženih slučajnim valovima sa značajnom valnom visinom $H_s = 3.0$ [m] u uvjetima Tabainova valnog spektra. Zbog strukture izraza (13) i (14) trend krivulja sa slike 3. nepromijenjen je i za druge značajne valne visine.

Na temelju provedenih proračuna grafički interpretiranih na slici 3. zaključuje se sljedeće:

- Podudaranje Owenova i modela Hedgesa i Reisove za nagibe pokosa 1:1 i 1:2 postoji samo pri prelijevanju reda veličine $10^{-1} [\text{m}^3 \text{s}^{-1} \text{m}^{-1}]$ i većem. Za nagib pokosa 1:4 ovo je podudaranje relativno zadovoljavajuće i pri prelijevanju reda veličine $5 \times 10^{-3} [\text{m}^3 \text{s}^{-1} \text{m}^{-1}]$ i većem.
- Nepodudaranje rezultata prema ovim modelima za nagibe pokosa 1:1 i 1:2 postoje to izražajnije što je prelijevanje manje od $10^{-2} [\text{m}^3 \text{s}^{-1} \text{m}^{-1}]$, a za nagib pokosa 1:4 pri prelijevanju manjem od $10^{-4} [\text{m}^3 \text{s}^{-1} \text{m}^{-1}]$.
- Za nagibe pokosa 1:1 i 1:2 Owenov model, za razliku od modela Hedgesa i Reisove, pri prelijevanju manjim od $10^{-2} [\text{m}^3 \text{s}^{-1} \text{m}^{-1}]$ pokazuje kontinuirani porast visine krune lukobrana, čak i kada je ona očito veća od svakoga mogućega valnog uspinjanja slučajnim valovima. Pri nagibu pokosa 1:4 ova je činjenica izražena pri prelijevanju manjem od $5 \times 10^{-3} [\text{m}^3 \text{s}^{-1} \text{m}^{-1}]$.



Slika 3. Usporedba potrebnih visina krune proračunanih prema Owenovu modelu i modelu Hedgesa i Reisove za lukobrane različitih nagiba po kosa izloženih slučajnim valovima sa značajno m valno m visinom $H_s = 3.0$ [m]

LITERATURA

- [1] Owen, M. W.: *The Hydraulic Design of Seawall Profiles*, Proceedings of Conference on Shoreline Protection, Institut of Civil Engineers, London, pp. 129. – 136., 1982.
- [2] Ahrens, J. P.; Heimbauh, M. S.: *Seawall Overtopping Model*, Proceedings of the 21st Coastal Engineering Conference, Malaga, pp. 795. – 806., 1988.
- [3] De Wall, J. P.; Van der Meer, J. W.: *Wave Runup and Overtopping on Coastal Structures*, Proceedings of the 25th Coastal Engineering Conference, Venice, pp.1758. – 1771., 1992.
- [4] Smith, G. M. et al.: *Erosion and Overtopping of a Grass Dike : Large Scale Model Tests*, Proceedings of the 24th Coastal Engineering Conference, Kobe, pp. 2639. – 2652., 1994.

- [5] Franco, L. et al.: *Wave Overtopping on Vertical and Composite Breakwaters*, Proceedings of the 24th Coastal Engineering Conference, Kobe, pp. 1030. – 1045., 1994.
- [6] Van den Meer, J. W.; Janssen, J. P. F. M.: *Wave Forces on Inclined and Vertical Wall Structures*, ASCE, New York, 1995.
- [7] Bradbury, A. P.; Allsop, N. W. H.: *Hydraulic Effects of Breakwaters Crown Walls*, Proceedings of Conference on Design of Breakwaters, Institution of Civil Engineers, London, pp. 385. – 396., 1988.
- [8] Aminti, P.; Franco, L.: *Wave Overtopping on Rubble Mound Breakwaters*, Proceedings of the 21st Coastal Engineering Conference, Maaga, pp. 770. – 781., 1988.
- [9] Pedersen, J.; Burcharth, H. F.: *Wave Forces on Crown Walls*, Proceedings of the 23rd Coastal Engineering Conference, Venice, pp. 1489. – 1502., 1992.
- [10] Hedges, T. S.; Reis, M. T.: *Random Wave Overtopping of Simple Sea Walls : a New Regression Model*, Proceedings of the Water, Maritime and Energy Conference, London, pp. 1. – 10., 1998.
- [11] Kobayashi, N.; Wurjanto, A.: *Wave Overtopping on Coastal Structures*, Journal of Waterway, Port, Coastal and Ocean Engineering, Vol. 115, No. 2, ASCE, pp. 235. – 251., 1989.
- [12] Hu, K. et al.: *Numerical Modelling of Impulsive Wave Overtopping of Coastal Structures*, Proceedings of Conference on Coastal Engineering and Marina Developments, Lemnos, pp. 233. – 241., 1999.
- [13] CERC,: *Shore Protection Manual*, Volume II, Coastal Engineering Research Center, Vicksburg, 1984.
- [14] CIRIA/CUR, : *Manual on the Use of Rock in Coastal and Shoreline Engineering*, Special Publication 83, Construction Industry Research and Information Association, London, 1991.
- [15] Ahrens, J. P. : *Irregular Wave Run – Up on Smooth Slopes*, Technical Paper No. 81 – 17, US Army Corps of Engineers, Coastal Engineering Research Center, Vicksburg, 1981.
- [16] Battjes, J. A. : *Wave Runup and Overtopping*, Technical Advisory Committee on Protection Against Inundation, Rijkwaterstaat, The Hague, 1974.
- [17] Tabain, T. : *Standardni spektar vjetrovnih valova za Jadranško more, ponovno (1977 – 1997)*, Jadranška meteorologija, XLIII – 2, str. 21 – 31, 1998.
- [18] Pršić, M.; Smičić, A.; Leder, N.: *Adriatic High Sea State Characteristics*, Wind and Wave Climate '99 - Proceedings of the MEDCOAST Conference on Wind and Wave Climate of the Mediterranean and Black Sea, Antalya, pp. 277 – 293, 1999.